

(12) 特許協力条約に基づいて公開された国際出願

(19) 世界知的所有権機関
国際事務局

(43) 国際公開日
2019年11月28日(28.11.2019)



(10) 国際公開番号
WO 2019/225401 A1

- (51) 国際特許分類:
G09C 1/00 (2006.01)
- (21) 国際出願番号: PCT/JP2019/019093
- (22) 国際出願日: 2019年5月14日(14.05.2019)
- (25) 国際出願の言語: 日本語
- (26) 国際公開の言語: 日本語
- (30) 優先権データ:
特願 2018-100626 2018年5月25日(25.05.2018) JP
- (71) 出願人: 日本電信電話株式会社 (NIPPON TELEGRAPH AND TELEPHONE CORPORATION) [JP/JP]; 〒1008116 東京都千代田区大手町一丁目5番1号 Tokyo (JP).
- (72) 発明者: 五十嵐 大(IKARASHI, Dai); 〒1808585 東京都武蔵野市緑町三丁目9番11号 N T T 知的財産センタ内 Tokyo (JP). 濱田 浩気(HAMADA, Koki); 〒1808585 東京都武蔵野市緑町三丁目9番11号 N T T 知的財産センタ内 Tokyo (JP).
- (74) 代理人: 中尾 直樹, 外(NAKAO, Naoki et al.); 〒1600022 東京都新宿区新宿三丁目1番22号 新宿NSビル6階 Tokyo (JP).
- (81) 指定国(表示のない限り、全ての種類の国内保護が可能): AE, AG, AL, AM, AO, AT, AU, AZ, BA, BB, BG, BH, BN, BR, BW, BY, BZ, CA, CH, CL, CN, CO, CR, CU, CZ, DE, DJ, DK, DM, DO, DZ, EC, EE, EG, ES, FI, GB, GD, GE, GH, GM, GT,

(54) Title: SECRET AGGREGATE FUNCTION CALCULATION SYSTEM, SECRET CALCULATION DEVICE, SECRET AGGREGATE FUNCTION CALCULATION METHOD, AND PROGRAM

(54) 発明の名称: 秘密集約関数計算システム、秘密計算装置、秘密集約関数計算方法、およびプログラム

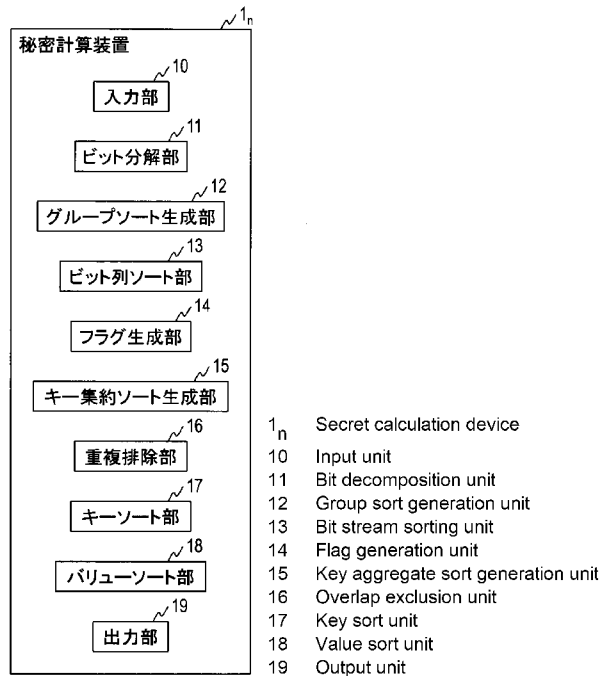


図2

(57) Abstract: In the present invention, intermediate data to be used in an aggregate function is efficiently obtained while secrecy is maintained. A bit decomposition unit (11) generates a shear of a bit stream obtained by decomposing a key attribute into bits and combining the bits together. A group sort generation unit (12) generates a shear of first substitution for performing stable sorting of bit streams in ascending order. A bit stream sort unit (13) generates a shear of a sorted bit



WO 2019/225401 A1

HN, HR, HU, ID, IL, IN, IR, IS, JO, JP, KE, KG, KH, KN, KP, KR, KW, KZ, LA, LC, LK, LR, LS, LU, LY, MA, MD, ME, MG, MK, MN, MW, MX, MY, MZ, NA, NG, NI, NO, NZ, OM, PA, PE, PG, PH, PL, PT, QA, RO, RS, RU, RW, SA, SC, SD, SE, SG, SK, SL, SM, ST, SV, SY, TH, TJ, TM, TN, TR, TT, TZ, UA, UG, US, UZ, VC, VN, ZA, ZM, ZW.

- (84) 指定国(表示のない限り、全ての種類の広域保護が可能): ARIPO (BW, GH, GM, KE, LR, LS, MW, MZ, NA, RW, SD, SL, ST, SZ, TZ, UG, ZM, ZW), ユーラシア (AM, AZ, BY, KG, KZ, RU, TJ, TM), ヨーロッパ (AL, AT, BE, BG, CH, CY, CZ, DE, DK, EE, ES, FI, FR, GB, GR, HR, HU, IE, IS, IT, LT, LU, LV, MC, MK, MT, NL, NO, PL, PT, RO, RS, SE, SI, SK, SM, TR), OAPI (BF, BJ, CF, CG, CI, CM, GA, GN, GQ, GW, KM, ML, MR, NE, SN, TD, TG).

添付公開書類 :

- 一 国際調査報告 (条約第21条(3))

stream obtained by performing sorting of the bit streams with the first substitution. A flag generation unit (14) generates a shear of a flag indicating a group boundary. A key aggregate sort generation unit (15) generates a shear of second substitution for performing stable sorting of negative flags in ascending order. An overlap exclusion unit (16) generates a shear of an overlap excluded key attribute. A key sort unit (17) generates a shear of a sorted key attribute obtained by performing sorting of the overlap excluded key attributes with the first substitution and the second substitution in order. A value sort unit (18) generates a shear of a sorted value attribute obtained by performing sorting of value attributes with the first substitution.

(57) 要約 : 秘匿性を保ったまま集約関数で用いる中間データを効率的に求める。ビット分解部 (11) は、キー属性をビット分解して結合したビット列のシェアを生成する。グループソート生成部 (12) は、ビット列を昇順に安定ソートする第一の置換のシェアを生成する。ビット列ソート部 (13) は、ビット列を第一の置換でソートしたソート済みビット列のシェアを生成する。フラグ生成部 (14) は、グループの境界を示すフラグのシェアを生成する。キー集約ソート生成部 (15) は、フラグの否定を昇順に安定ソートする第二の置換のシェアを生成する。重複排除部 (16) は、重複排除済みキー属性のシェアを生成する。キーソート部 (17) は、重複排除済みキー属性を第一の置換と第二の置換とで順にソートしたソート済みキー属性のシェアを生成する。バリューソート部 (18) は、バリュー属性を第一の置換でソートしたソート済みバリュー属性のシェアを生成する。

明 細 書

発明の名称：

秘密集約関数計算システム、秘密計算装置、秘密集約関数計算方法、およびプログラム

技術分野

[0001] この発明は秘密計算技術に関し、特に、秘匿性を保ったまま集約関数を計算する技術に関する。

背景技術

[0002] 集約関数は、テーブルにキー属性とバリュー属性があるときに、キー属性の値に基づいてグループ分けした統計値を得る演算である。集約関数は、group-by演算とも呼ばれる。キー属性は、テーブルのレコードをグループ分けするために用いる属性であり、例えば、役職や性別などが挙げられる。バリュー属性は、統計値を計算するために用いる属性であり、例えば、給料や身長などが挙げられる。group-by演算は、例えば、キー属性が性別のときに、男女別の平均身長を求める演算などである。キー属性は複数の属性による複合キーであってもよく、例えば、キー属性が性別と年齢のときに、10代男性の平均身長、20代男性の平均身長、・・・を得るような演算であってもよい。非特許文献1には、group-by演算を秘密計算で行う方法が記載されている。

[0003] group-by演算は、具体的には、group-byカウント、group-by総和、group-by最大値／最小値、group-by中央値、グループ内の順位などがある。group-byカウントは、クロス集計のことであり、テーブルをキー属性の値に基づいてグループ分けしたときに、各グループのレコード数を集計する演算である。group-by総和は、各グループにおける所望のバリュー属性の総和である。group-by最大値／最小値は、各グループにおける所望のバリュー属性の最大値／最小値である。group-by中央値は、各グループにおける所望のバリュー属性の中央値である。グループ内の順位は、各レコードのバリュー属性の値がグループ内で何番目の値であるかを取得する関数である。

先行技術文献

非特許文献

- [0004] 非特許文献1：五十嵐大，千田浩司，濱田浩気，高橋克巳，“軽量検証可能3パーティ秘匿関数計算の効率化及びこれを用いたセキュアなデータベース処理”，2011年暗号と情報セキュリティシンポジウム

発明の概要

発明が解決しようとする課題

- [0005] group-by演算では計算の過程で中間データを求めることがある。この中間データの中には、異なる種類のgroup-by演算の間で共通に求めるものがある。秘匿性を保ったまま複数のgroup-by演算を同時にまたは連続して計算すると、共通の中間データを求める処理が重複することで、計算量が増大する場合がある。

- [0006] この発明の目的は、上記のような技術的課題に鑑みて、秘匿性を保ったまま複数のgroup-by演算を同時にまたは連続して計算するとき、group-by演算で用いる中間データを効率的に求めることができる技術を提供することである。

課題を解決するための手段

- [0007] 上記の課題を解決するために、この発明の一態様の秘密集約関数計算システムは、複数の秘密計算装置を含む秘密集約関数計算システムであって、 F は任意の環であり、 m は2以上の整数であり、 n_k は1以上の整数であり、 $[k_0]$ ， \dots ， $[k_{n_{k-1}}]$ はキー属性 $k_0, \dots, k_{n_{k-1}} \in F^m$ を秘密分散したシェアであり、秘密計算装置は、シェア $[k_0]$ ， \dots ， $[k_{n_{k-1}}]$ を用いて、復元するとキー属性 $k_0, \dots, k_{n_{k-1}}$ をビット分解して結合したビット列 $b := b_0, \dots, b_{m-1}$ となるシェア $\{b\}$ から、復元するとビット列 b を昇順に安定ソートする置換 σ_0 となるシェア $\{\{\sigma_0\}\}$ を生成するグループソート生成部と、シェア $\{b\}$ とシェア $\{\{\sigma_0\}\}$ とを用いて、復元するとビット列 b を置換 σ_0 でソートしたソート済みビット列 $b' := b'_0, \dots, b'_{m-1}$ となるシェア $\{b'\}$ を生成するビット列ソート部と、シェア $\{b'\}$ を用いて、0以上

$m-2$ 以下の各整数 i について $\{e_i\} := \{b'_i \neq b'_{i+1}\}$ を設定し、かつ、 $\{e_{m-1}\} := \{1\}$ を設定して、復元するとフラグ $e := e_0, \dots, e_{m-1}$ となるシェア $\{e\}$ を生成するフラグ生成部と、シェア $\{e\}$ を用いて、復元するとフラグ e の否定 $\neg e$ を昇順に安定ソートする置換 σ となるシェア $\{\{\sigma\}\}$ を生成するキー集約ソート生成部と、を含む。

発明の効果

[0008] この発明の秘密集約関数技術によれば、秘匿性を保ったままgroup-by演算で用いる中間データを効率的に求めることができる。その中間データを用いることで、複数のgroup-by演算を同時にまたは連続して計算するときに、全体の計算量を削減することができる。

図面の簡単な説明

[0009] [図1]図1は、秘密集約関数計算システムの機能構成を例示する図である。

[図2]図2は、秘密計算装置の機能構成を例示する図である。

[図3]図3は、秘密集約関数計算方法の処理手続きを例示する図である。

発明を実施するための形態

[0010] 以下、この発明の実施の形態について詳細に説明する。なお、図面中において同じ機能を有する構成部には同じ番号を付し、重複説明を省略する。

[0011] $[x] \in [F]$ は、ある値 x が任意の環 F 上の秘密分散等により秘匿されていることを表す。 $\{b\} \in \{B\}$ は、1ビットのある値 b が1ビットを表せる環 B 上の秘密分散等により秘匿されていることを表す。 $\{\{s\}\} \in \{\{S_m\}\}$ は、 m 個の要素の置換の集合 S_m に属するある置換 s が秘密分散等により秘匿されていることを表す。以下、秘密分散された値を「シェア」とも呼ぶ。

[0012] 実施形態中で用いる秘密計算におけるソート（安定ソートを含む）は、例えば、下記参考文献1に記載されたソートを用いることができる。置換 s のシェア $\{\{s\}\}$ については下記参考文献1に記載されたハイブリッド置換 $\{\{\pi\}\}$ を用いればよい。

[0013] [参考文献1] 五十嵐大，濱田浩気，菊池亮，千田浩司，“超高速秘密計算ソートの設計と実装：秘密計算がスクリプト言語に並ぶ日”，CSS20

17

[0014] <実施形態>

図1を参照して、実施形態の秘密集約関数計算システム100の構成例を説明する。秘密集約関数計算システム100は、 N (≥ 2) 台の秘密計算装置 $1_1, \dots, 1_N$ を含む。本形態では、秘密計算装置 $1_1, \dots, 1_N$ はそれぞれ通信網2へ接続される。通信網2は、接続される各装置が相互に通信可能なように構成された回線交換方式もしくはパケット交換方式の通信網であり、例えばインターネットやLAN (Local Area Network)、WAN (Wide Area Network)などを用いることができる。なお、各装置は必ずしも通信網2を介してオンラインで通信可能である必要はない。例えば、秘密計算装置 $1_1, \dots, 1_N$ へ入力する情報を磁気テープやUSBメモリなどの可搬型記録媒体に記憶し、その可搬型記録媒体から秘密計算装置 $1_1, \dots, 1_N$ へオフラインで入力するように構成してもよい。

[0015] 図2を参照して、秘密集約関数計算システム100に含まれる秘密計算装置 1_n ($n=1, \dots, N$) の構成例を説明する。秘密計算装置 1_n は、例えば、図2に示すように、入力部10、ビット分解部11、グループソート生成部12、ビット列ソート部13、フラグ生成部14、キー集約ソート生成部15、重複排除部16、キーソート部17、バリューソート部18、および出力部19を含む。この秘密計算装置 1_n ($1 \leq n \leq N$) が他の秘密計算装置 $1_{n'}$ ($n'=1, \dots, N$, ただし $n \neq n'$) と協調しながら後述する各ステップの処理を行うことにより実施形態の秘密集約関数計算方法が実現される。

[0016] 秘密計算装置 1_n は、例えば、中央演算処理装置 (CPU: Central Processing Unit)、主記憶装置 (RAM: Random Access Memory)などを有する公知又は専用のコンピュータに特別なプログラムが読み込まれて構成された特別な装置である。秘密計算装置 1_n は、例えば、中央演算処理装置の制御のもとで各処理を実行する。秘密計算装置 1_n に入力されたデータや各処理で得られたデータは、例えば、主記憶装置に格納され、主記憶装置に格納されたデータは必要に応じて中央演算処理装置へ読み出されて他の処理に利用される。秘密

計算装置 1_nの各処理部は、少なくとも一部が集積回路等のハードウェアによって構成されていてもよい。

[0017] 図3を参照して、実施形態の秘密集約関数計算システム100が実行する秘密集約関数計算方法の処理手続きを説明する。

[0018] ステップS10において、各秘密計算装置1_nの入力部10は、 n_k 個のキー属性 $k_0, \dots, k_{n_k-1} \in F^m$ それぞれを秘密分散により秘匿したシェア $[k_0], \dots, [k_{n_k-1}] \in [F]^m$ と、 n_a 個のバリュウ属性 $v_0, \dots, v_{n_a-1} \in F^m$ それぞれを秘密分散により秘匿したシェア $[v_0], \dots, [v_{n_a-1}] \in [F]^m$ とを入力として受け取る。ただし、 n_k, n_a は1以上の整数であり、 m は2以上の整数である。以下、 $[k_j] \in [F]^m$ ($j=0, \dots, n_k-1$)の各要素は、 $[k_{j,i}] \in [F]$ ($i=0, \dots, m-1$)で参照することもある。また、 $[v_h] \in [F]^m$ ($h=0, \dots, n_a-1$)の各要素は、 $[v_{h,i}] \in [F]$ ($i=0, \dots, m-1$)で参照することもある。入力部10は、キー属性 k_0, \dots, k_{n_k-1} のシェア $[k_0], \dots, [k_{n_k-1}]$ をビット分解部11と重複排除部16へ出力する。また、入力部10は、バリュウ属性 v_0, \dots, v_{n_a-1} のシェア $[v_0], \dots, [v_{n_a-1}]$ をバリュウソート部18へ出力する。

[0019] ステップS11において、各秘密計算装置1_nのビット分解部11は、キー属性 k_0, \dots, k_{n_k-1} のシェア $[k_0], \dots, [k_{n_k-1}]$ をビット分解して結合し、復元するとキー属性 k_0, \dots, k_{n_k-1} のビット表現を結合したビット列 $b := b_0, \dots, b_{m-1} \in B^\lambda$ となるシェア $\{b\} \in \{B\}^\lambda$ を得る。ただし、 λ はビット列 b のビット長であり、各 b_i ($i=0, \dots, m-1$)のビット長の総和である。言い替えると、 $\{b_i\}$ は、キー属性 k_0, \dots, k_{n_k-1} のシェア $[k_0], \dots, [k_{n_k-1}]$ それぞれの i 番目の要素 $[k_{0,i}], \dots, [k_{n_k-1,i}]$ のビット表現を結合したビット列である。ビット分解部11は、ビット列 b のシェア $\{b\}$ をグループソート生成部12へ出力する。

[0020] ステップS12において、各秘密計算装置1_nのグループソート生成部12は、ビット列 b のシェア $\{b\}$ を用いて、復元するとビット列 b を昇順で安定ソートするための置換 σ_0 となるシェア $\{\{\sigma_0\}\} \in \{\{S_m\}\}$ を生成する。安定ソートとは、ソート演算のうち、同じ値の要素が存在した場合に、同じ値の要素同士の順序を保存する演算である。例えば、社員番号順でソートされたテーブル

に対して性別で安定ソートすると、各性別の中で社員番号順が保たれているソート結果が得られる。ビット列 b はキー属性 k_0, \dots, k_{nk-1} のビット表現を結合したものであるため、置換 σ_0 はキー属性 k_0, \dots, k_{nk-1} の値が等しいレコードを連続するように並び替えてグループ分けする操作であるとも言える。グループソート生成部12は、ビット列 b のシェア $\{b\}$ と置換 σ_0 のシェア $\{\{\sigma_0\}\}$ とをビット列ソート部13へ出力する。また、グループソート生成部12は、置換 σ_0 のシェア $\{\{\sigma_0\}\}$ をキーソート部17とバリューソート部18へ出力する。

[0021] ステップS13において、各秘密計算装置 1_n のビット列ソート部13は、ビット列 b のシェア $\{b\}$ と置換 σ_0 のシェア $\{\{\sigma_0\}\}$ とを用いて、復元するとビット列 b を置換 σ_0 でソートしたソート済みビット列 $b' := b'_0, \dots, b'_{m-1} \in B^\lambda$ となるシェア $\{b'\} \in \{B\}^\lambda$ を得る。ビット列ソート部13は、ソート済みビット列 b' のシェア $\{b'\}$ をフラグ生成部14へ出力する。

[0022] ステップS14において、各秘密計算装置 1_n のフラグ生成部14は、ソート済みビット列 b' のシェア $\{b'\}$ を用いて、 0 以上 $m-2$ 以下の各整数 i について $\{e_i\} := \{b'_i \neq b'_{i+1}\}$ を設定し、かつ、 $\{e_{m-1}\} := \{1\}$ を設定して、復元するとフラグ $e := e_0, \dots, e_{m-1} \in B^m$ となるシェア $\{e\} \in \{B\}^m$ を生成する。フラグ e_i はソート済みビット列 b' の i 番目の要素 b'_i が $i+1$ 番目の要素 b'_{i+1} と異なる場合に真が設定されるため、各グループの最後の要素（すなわち、グループ間の境界の直前の要素）を示すフラグとなる。フラグ生成部14は、フラグ e のシェア $\{e\}$ をキー集約ソート生成部15と重複排除部16と出力部19へ出力する。

[0023] ステップS15において、各秘密計算装置 1_n のキー集約ソート生成部15は、まず、フラグ e のシェア $\{e\}$ を用いて、復元するとフラグ e の否定 $\neg e$ であるフラグ e' となるシェア $\{e'\} \in \{B\}^m$ を生成する。すなわち、 0 以上 $m-1$ 以下の各整数 i について $\{e'_i\} := \{\neg e_i\}$ を設定する。次に、キー集約ソート生成部15は、フラグ e' のシェア $\{e'\}$ を用いて、復元するとフラグ e' を昇順に安定ソートするための置換 σ となるシェア $\{\{\sigma\}\} \in \{S_m\}$ を生成する。キー集約ソート生成部15は、置換 σ のシェア $\{\{\sigma\}\}$ をキーソート部17と出力部19へ出力

する。

[0024] ステップS 1 6において、各秘密計算装置 1_n の重複排除部1 6は、フラグ e のシェア $\{e\}$ とキー属性 k_0, \dots, k_{nk-1} のシェア $[k_0], \dots, [k_{nk-1}]$ とを用いて、 $[k''_{j,i}] := [e_i ? k_{j,i} : \text{null}]$ を設定し、復元すると重複排除済みキー属性 k''_0, \dots, k''_{nk-1} となるシェア $[k''_0], \dots, [k''_{nk-1}]$ を生成する。ここで、「?」は条件演算子（または三項演算子）である。すなわち、 $\{e_i\}$ が真（例えば、 $\{e_i\} = \{1\}$ ）のときは $[k''_{j,i}] := [k_{j,i}]$ を設定し、 $\{e_i\}$ が偽（例えば、 $\{e_i\} = \{0\}$ ）のときは $[k''_{j,i}] := \text{null}$ を設定する。 $\{e_i\} = \{0\}$ のときに設定する値は null でなくともよく、キー属性 k_0, \dots, k_{nk-1} が取り得ない値であればどのような値でもよい。フラグ e は各グループの最後の要素のみに真が設定されたフラグであるため、重複排除済みキー属性 k''_0, \dots, k''_{nk-1} は、各グループの最後の要素に対応する要素のみキー属性の値が設定され、それ以外の要素はキー属性が取り得ない所定の値が設定されたベクトルとなる。重複排除部1 6は、重複排除済みキー属性 k''_0, \dots, k''_{nk-1} のシェア $[k''_0], \dots, [k''_{nk-1}]$ をキーソート部1 7へ出力する。

[0025] ステップS 1 7において、各秘密計算装置 1_n のキーソート部1 7は、重複排除済みキー属性 k''_0, \dots, k''_{nk-1} のシェア $[k''_0], \dots, [k''_{nk-1}]$ と置換 σ_0 のシェア $\{\{\sigma_0\}\}$ と置換 σ のシェア $\{\{\sigma\}\}$ とを用いて、復元すると重複排除済みキー属性 k''_0, \dots, k''_{nk-1} を置換 σ_0 と置換 σ とで順にソートしたソート済みキー属性 k'_0, \dots, k'_{nk-1} となるシェア $[k'_0], \dots, [k'_{nk-1}]$ を生成する。キーソート部1 7は、ソート済みキー属性 k'_0, \dots, k'_{nk-1} のシェア $[k'_0], \dots, [k'_{nk-1}]$ を出力部1 9へ出力する。

[0026] ステップS 1 8において、各秘密計算装置 1_n のバリューソート部1 8は、バリュー属性 v_0, \dots, v_{na-1} のシェア $[v_0], \dots, [v_{na-1}]$ と置換 σ_0 のシェア $\{\{\sigma_0\}\}$ とを用いて、復元するとバリュー属性 v_0, \dots, v_{na-1} を置換 σ_0 でソートしたソート済みバリュー属性 v'_0, \dots, v'_{na-1} となるシェア $[v'_0], \dots, [v'_{na-1}]$ を生成する。バリューソート部1 8は、ソート済みバリュー属性 v'_0, \dots, v'_{na-1} のシェア $[v'_0], \dots, [v'_{na-1}]$ を出力部1 9へ出力する。

[0027] ステップS 1 9において、各秘密計算装置 1_n の出力部1 9は、ソート済み

キー属性 k'_0, \dots, k'_{nk-1} のシェア $[k'_0], \dots, [k'_{nk-1}]$ 、ソート済みバリュー属性 v'_0, \dots, v'_{na-1} のシェア $[v'_0], \dots, [v'_{na-1}]$ 、フラグ e のシェア $\{e\}$ 、および置換 σ のシェア $\{\{\sigma\}\}$ の少なくとも1つを出力する。出力部19が出力すべき情報は、後に続いて計算する1つ以上のgroup-by演算で必要とされる中間データを満たすように選択する。

[0028] 以下、秘密集約関数計算システム100が出力する中間データを用いて、各種の集約関数を計算する具体的な手順を説明する。

[0029] ≪group-byカウント≫

group-byカウントは、テーブルをキー属性の値に基づいてグループ分けしたときに、各グループのレコード数を集計する演算である。group-byカウントは、秘密集約関数計算システム100が出力するフラグ e のシェア $\{e\}$ と置換 σ のシェア $\{\{\sigma\}\}$ とを用いて、以下のように求めることができる。なお、 g は最大グループ数であり、キー属性が取り得る値の組み合わせの数、すなわち、キー属性が取り得る値の種類の数である。

[0030] 第一に、フラグ e のシェア $\{e\} \in \{B\}^m$ を任意の環 F 上の秘密分散によるシェア $[e] \in [F]^m$ に変換する。

[0031] 第二に、フラグ e のシェア $[e]$ を用いて、 0 以上 $m-1$ 以下の各整数 i について $[x_i] := [e_i ? i+1 : m]$ を設定し、復元するとベクトル $x := x_0, \dots, x_{m-1} \in F$ となるシェア $[x] \in [F]^m$ を生成する。ベクトル x は、テーブルをキー属性で安定ソートしたときに同じキー属性の値をもつレコードを同じグループとして、各グループの最後の要素には次の要素の先頭からの位置が設定され、その他の要素にはテーブル全体のレコード数が設定されたベクトルとなる。言い替えると、各グループの最後の要素には、先頭のグループからそのグループまでの各グループのレコード数を積み上げた合計値が設定されることになる。

[0032] 第三に、ベクトル x のシェア $[x]$ と置換 σ のシェア $\{\{\sigma\}\}$ とを用いて、復元するとベクトル x を置換 σ でソートしたソート済みベクトル $\sigma(x)$ となるシェア $[\sigma(x)] \in [F]^m$ を生成する。以下、 $[\sigma(x)] \in [F]^m$ の各要素は、 $[\sigma(x)_i] \in [F]$ ($i=0, \dots, m-1$)で参照することもある。

[0033] 最後に、ソート済みベクトル $\sigma(x)$ のシェア $[\sigma(x)]$ を用いて、1以上 $\min(g, m)-1$ 以下の各整数 i について $[c_i] := [\sigma(x)_i - \sigma(x)_{i-1}]$ を設定し、かつ、 $[c_0] := [\sigma(x)_0]$ を設定して、復元すると各グループのレコード数を表すベクトル $c := c_0, \dots, c_{\min(g, m)-1} \in F$ となるシェア $[c] \in [F]^{\min(g, m)}$ を生成する。ソート済みベクトル $\sigma(x)$ の i 番目の要素 $\sigma(x)_i$ は、0番目から i 番目までの各グループのレコード数を積み上げた合計値が設定されているため、ベクトル c の i 番目の要素 c_i には、 i 番目のグループのレコード数が設定されることになる。なお、キー属性は秘匿されているため、 $\min(g, m)$ はグループ数が取り得る最大値であり、実際のグループ数は $\min(g, m)$ 以下の各秘密計算装置 1_n には知り得ない値（以下、実際のグループ数を g' とする）となる。したがって、 $\min(g, m)$ 個のシェア $[c_i]$ の中で実際のグループ数を超えるもの（すなわち、 $i \geq g'$ ）には、復元後に有効な値と識別可能となる無効な値を設定しておく必要がある。本形態では、 $[e_i]$ が偽のシェア $[x_i]$ もしくは $[e_i]$ が真のうち最後のシェア $[x_i]$ には $[x_i] = m$ を設定している。これにより、 $c_{g'}, \dots, c_{\min(g, m)-1}$ には $\sigma(x)_i - \sigma(x)_{i-1} = m - m = 0$ が設定される。レコードが存在するグループのカウント数は1以上であるため、0は有効な値と識別可能となる無効な値として成立している。

[0034] ≪group-by総和≫

group-by総和は、テーブルをキー属性の値に基づいてグループ分けしたときに、グループごとに所望のバリュー属性の総和を集計する演算である。group-by総和を用いれば、グループごとに乗算の和を求めるgroup-by積和や、グループごとに二乗の和を求めるgroup-by二乗和も計算することができる。group-by積和であれば、各レコードのバリュー属性に乗算を施した結果に対してgroup-by総和を求めればよい。また、group-by二乗和であれば、同様に、各レコードのバリュー属性に二乗を施した結果に対してgroup-by総和を求めればよい。group-by総和は、秘密集約関数計算システム100が出力するソート済みバリュー属性 v'_0, \dots, v'_{na-1} のシェア $[v'_0], \dots, [v'_{na-1}]$ とフラグ e のシェア $\{e\}$ と置換 σ のシェア $\{\{\sigma\}\}$ とを用いて、以下のように求めることができる。なお、 v はソート済みバリュー属性 v'_0, \dots, v'_{na-1} のうちgroup-by総和を求

めたい所望のバリュー属性である。

- [0035] 第一に、バリュー属性 v のシェア $[v]$ を用いて、 $[v'] := \text{prefix-sum}([v])$ を計算し、復元するとベクトル $v' := v'_0, \dots, v'_{m-1} \in F$ となるシェア $[v'] \in [F]^m$ を生成する。 prefix-sum は、 m を入力ベクトル v の長さとして、 0 以上 $m-1$ 以下の各整数 i について、出力ベクトル v' の i 番目の要素 v'_i には入力ベクトル v の 0 番目の要素 v_0 から i 番目の要素 v_i までの値の総和を設定する演算である。
- [0036] 第二に、フラグ e のシェア $\{e\} \in \{B\}^m$ を任意の環 F 上の秘密分散によるシェア $[e] \in [F]^m$ に変換する。
- [0037] 第三に、ベクトル v' のシェア $[v']$ とフラグ e のシェア $[e]$ とを用いて、 0 以上 $m-1$ 以下の各整数 i について $[t_i] := [e_i ? v'_i : v'_{m-1}]$ を設定し、復元するとベクトル $t := t_0, \dots, t_{m-1} \in F$ となるシェア $[t] \in [F]^m$ を生成する。ベクトル t は、テーブルをキー属性で安定ソートしたときに同じキー属性の値をもつレコードを同じグループとして、各グループの最後の要素にはその要素以前のバリュー属性の値の総和が設定され、その他の要素にはテーブル全体のバリュー属性の値の総和が設定されたベクトルとなる。
- [0038] 第四に、ベクトル t のシェア $[t]$ と置換 σ のシェア $\{\{\sigma\}\}$ とを用いて、復元するとベクトル t を置換 σ でソートしたソート済みベクトル $\sigma(t)$ となるシェア $[\sigma(t)] \in [F]^m$ を生成する。以下、 $[\sigma(t)] \in [F]^m$ の各要素は、 $[\sigma(t)_i] \in [F]$ ($i=0, \dots, m-1$)で参照することもある。
- [0039] 最後に、ソート済みベクトル $\sigma(t)$ のシェア $[\sigma(t)]$ を用いて、 1 以上 $\min(g, m)-1$ 以下の各整数 i について $[s_i] := [\sigma(t)_i - \sigma(t)_{i-1}]$ を設定し、かつ、 $[t_0] := [\sigma(t)_0]$ を設定して、復元するとグループ毎のバリュー属性 v の総和 $s := s_0, \dots, s_{\min(g, m)-1} \in F$ となるシェア $[s] \in [F]^{\min(g, m)}$ を生成する。ソート済みベクトル $\sigma(t)$ の i 番目の要素 $\sigma(t)_i$ は、 0 番目から i 番目までの各グループに属するバリュー属性 v の値の総和が設定されているため、ベクトル t の i 番目の要素 t_i には、 i 番目のグループに属するバリュー属性 v の値の総和が設定されることになる。
- [0040] <<group-by最大値>>
group-by最大値は、テーブルをキー属性の値に基づいてグループ分けした

ときに、グループごとに所望のバリュー属性の最大値を得る演算である。group-by最大値は、秘密集約関数計算システム100が出力するソート済みバリュー属性 v'_0, \dots, v'_{na-1} のシェア $[v'_0], \dots, [v'_{na-1}]$ とフラグ e のシェア $\{e\}$ と置換 σ のシェア $\{\{\sigma\}\}$ とを用いて、以下のように求めることができる。なお、 v はソート済みバリュー属性 v'_0, \dots, v'_{na-1} のうちgroup-by最大値を求めたい所望のバリュー属性である。

[0041] 第一に、フラグ e のシェア $\{e\} \in \{B\}^m$ を任意の環 F 上の秘密分散によるシェア $[e] \in [F]^m$ に変換する。

[0042] 第二に、バリュー属性 v のシェア $[v]$ とフラグ e のシェア $[e]$ とを用いて、 0 以上 $m-1$ 以下の各整数 i について $[f_i] := [e_i ? v_i : 0]$ を設定し、復元するとベクトル $f := f_0, \dots, f_{m-1} \in F$ となるシェア $[f] \in [F]^m$ を生成する。ベクトル f は、テーブルをキー属性で安定ソートしたときに同じキー属性の値をもつレコードを同じグループとして、各グループの最後の要素 f_i にはその要素に対応するバリュー属性の値 v_i が設定され、その他の要素には 0 が設定されたベクトルとなる。すなわち、各グループの最大値と 0 とを要素としてもつベクトルとなる。

[0043] 第三に、ベクトル f のシェア $[f]$ と置換 σ のシェア $\{\{\sigma\}\}$ とを用いて、復元するとベクトル f を置換 σ でソートしたソート済みベクトル $\sigma(f)$ となるシェア $[\sigma(f)] \in [F]^m$ を生成する。以下、 $[\sigma(f)] \in [F]^m$ の各要素は、 $[\sigma(f)_i] \in [F]$ ($i=0, \dots, m-1$)で参照することもある。ソート済みベクトル $\sigma(f)$ は、先頭からグループ数の要素にグループ毎にソートしたときの最後の要素の値（すなわち、各グループの最大値）が設定され、それ以降の要素に 0 が設定されたベクトルとなる。

[0044] 最後に、ソート済みベクトル $\sigma(f)$ のシェア $[\sigma(f)]$ から、復元すると各グループの最大値を表すベクトル $x := \sigma(f)_0, \dots, \sigma(f)_{\min(g,m)-1}$ となるシェア $[x] \in [F]^{\min(g,m)}$ を生成する。

[0045] ≪group-by最小値≫

group-by最小値は、テーブルをキー属性の値に基づいてグループ分けしたときに、グループごとに所望のバリュー属性の最小値を得る演算である。gro

up-by最小値は、秘密集約関数計算システム 100 が出力するソート済みバリュ
 ュー属性 v'_0, \dots, v'_{na-1} のシェア $[v'_0], \dots, [v'_{na-1}]$ とフラグ e のシェア $\{e\}$ と置
 換 σ のシェア $\{\sigma\}$ とを用いて、以下のように求めることができる。なお、 v
 はソート済みバリュウー属性 v'_0, \dots, v'_{na-1} のうち group-by 最小値を求めたい所
 望のバリュウー属性である。

[0046] 第一に、フラグ e のシェア $\{e\}$ を用いて、1以上 $m-1$ 以下の各整数 i について $\{e'_i\} := \{e_{i-1}\}$ を設定し、かつ、 $\{e'_0\} := \{1\}$ を設定して、復元するとフラグ $e' := e'_0, \dots, e'_{m-1} \in B^m$ となるシェア $\{e'\} \in \{B\}^m$ を生成する。フラグ e' は各グループの最後の要素を示すフラグ e を一つずつ後方へシフトしたフラグであるため、各グループの最初の要素（すなわち、グループ間の境界の直後の要素）を示すフラグとなる。

[0047] 第二に、フラグ e' のシェア $\{e'\} \in \{B\}^m$ を任意の環 F 上の秘密分散によるシェア $[e'] \in [F]^m$ に変換する。

[0048] 第三に、バリュウー属性 v のシェア $[v]$ とフラグ e' のシェア $[e']$ とを用いて、0以上 $m-1$ 以下の各整数 i について $[f'_i] := [e'_i ? v_i : 0]$ を設定し、復元するとベクトル $f' := f'_0, \dots, f'_{m-1} \in F$ となるシェア $[f'] \in [F]^m$ を生成する。ベクトル f' は、テーブルをキー属性で安定ソートしたときに同じキー属性の値をもつレコードを同じグループとして、各グループの最初の要素 f'_i にはその要素に対応するバリュウー属性の値 v_i が設定され、その他の要素には 0 が設定されたベクトルとなる。すなわち、各グループの最小値と 0 とを要素としてもつベクトルとなる。

[0049] 第四に、ベクトル f' のシェア $[f']$ と置換 σ のシェア $\{\sigma\}$ とを用いて、復元するとベクトル f' を置換 σ でソートしたソート済みベクトル $\sigma(f')$ となるシェア $[\sigma(f')] \in [F]^m$ を生成する。以下、 $[\sigma(f')] \in [F]^m$ の各要素は、 $[\sigma(f')]_i \in [F]$ ($i=0, \dots, m-1$) で参照することもある。ソート済みベクトル $\sigma(f')$ は、先頭からグループ数の要素にグループ毎にソートしたときの最初の要素の値（すなわち、各グループの最小値）が設定され、それ以降の要素に 0 が設定されたベクトルとなる。

[0050] 最後に、ソート済みベクトル $\sigma(f')$ のシェア $[\sigma(f')]$ から、復元すると各グループの最小値を表すベクトル $x' := \sigma(f')_0, \dots, \sigma(f')_{\min(g,m)-1}$ となるシェア $[x'] \in [F]^{\min(g,m)}$ を生成する。

[0051] 《グループ内の昇順順位》

グループ内の昇順順位は、テーブルをキー属性の値に基づいてグループ分けしたときに、所望のバリュー属性を昇順でソートしたときにその値がグループ内で何番目の値であるかを求める演算である。グループ内の昇順順位は、秘密集約関数計算システム 100 が出力するフラグ e のシェア $\{e\}$ と置換 σ のシェア $\{\{\sigma\}\}$ とを用いて、以下のように求めることができる。なお、 c は group-by カウントの結果（以下、「クロス集計」と呼ぶ）である。クロス集計 c は、例えば、上述の《group-by カウント》の手順に従って、フラグ e のシェア $\{e\}$ と置換 σ のシェア $\{\{\sigma\}\}$ とを用いて求めることができる。

[0052] 第一に、クロス集計 c のシェア $[c]$ と置換 σ のシェア $\{\{\sigma\}\}$ とを用いて、復元するとクロス集計 c に置換 σ を逆適用した逆置換済みクロス集計 $u := \sigma^{-1}(c)$ となるシェア $[u] := [\sigma^{-1}(c)] \in [F]^m$ を生成する。クロス集計 c は先頭からグループ数までの要素に各グループのレコード数が設定されたベクトルであり、置換 σ は各グループの最後の要素を先頭から順に並べる置換であるため、クロス集計 c に置換 σ を逆適用した逆置換済みクロス集計 u は各グループの最後の要素にそのグループのレコード数が設定されたベクトルとなる。以下、 $[u] \in [F]^m$ の各要素は、 $[u_i] \in [F]$ ($i=0, \dots, m-1$) で参照することもある。

[0053] 第二に、逆置換済みクロス集計 u のシェア $[u]$ を用いて、 $[s] := \text{prefix-sum}([u])$ を計算し、復元するとベクトル $s := s_0, \dots, s_{m-1} \in F$ となるシェア $[s] \in [F]^m$ を生成する。prefix-sum は、 m を入力ベクトル u の長さとして、 0 以上 $m-1$ 以下の各整数 i について、出力ベクトル s の i 番目の要素 s_i には入力ベクトル u の 0 番目の要素 u_0 から i 番目の要素 u_i までの値の総和を設定する演算である。

[0054] 最後に、ベクトル s のシェア $[s]$ を用いて、 1 以上 $m-1$ 以下の各整数 i について $[a_i] := [i - s_{i-1}]$ を設定し、かつ、 $[a_0] := [0]$ を設定して、復元するとグループ内の昇順順位 $a := a_0, \dots, a_{m-1} \in F$ となるシェア $[a] \in [F]^m$ を生成する。なお、グ

ループ内での昇順順位は0スタートとなることに注意されたい。1スタートの順位を得たいのであれば、各順位に1を加算すればよい。すなわち、1以上 $m-1$ 以下の各整数 i について $[a_i] := [i - s_{i-1} + 1]$ を設定し、かつ、 $[a_0] := [1]$ を設定して、昇順順位 a を生成すればよい。

[0055] 《グループ内の降順順位》

グループ内の降順順位は、テーブルをキー属性の値に基づいてグループ分けしたときに、所望のバリュー属性を降順でソートしたときにその値がグループ内で何番目の値であるかを求める演算である。グループ内の降順順位は、秘密集約関数計算システム100が出力するフラグ e のシェア $\{e\}$ と置換 σ のシェア $\{\sigma\}$ とを用いて、以下のように求めることができる。なお、 c はgroup-byカウントの結果（以下、「クロス集計」と呼ぶ）である。クロス集計 c は、例えば、上述の《group-byカウント》の手順に従って、フラグ e のシェア $\{e\}$ と置換 σ のシェア $\{\sigma\}$ とを用いて求めることができる。

[0056] 第一に、クロス集計 c のシェア $[c]$ を用いて、0以上 $m-2$ 以下の各整数 i について $[c'_i] := [c_{i+1}]$ を設定し、かつ、 $[c'_{m-1}] := [0]$ を設定して、復元するとシフト済みクロス集計 $c' := c'_0, \dots, c'_{m-1} \in F^m$ となるシェア $[c'] \in [F]^m$ を生成する。シフト済みクロス集計 c' は各グループのレコード数を表すベクトルであるクロス集計 c を一つずつ前方へシフトしたベクトルとなる。

[0057] 第二に、シフト済みクロス集計 c' のシェア $[c']$ と置換 σ のシェア $\{\sigma\}$ とを用いて、復元するとシフト済みクロス集計 c' に置換 σ を逆適用した逆置換済みクロス集計 $u' := \sigma^{-1}(c')$ となるシェア $[u'] := [\sigma^{-1}(c')] \in [F]^m$ を生成する。シフト済みクロス集計 c' は先頭からグループ数までの要素に各グループのレコード数が設定されたクロス集計 c を一つずつ前方へシフトしたベクトルであり、置換 σ は各グループの最後の要素を先頭から順に並べる置換であるため、シフト済みクロス集計 c' に置換 σ を逆適用した逆置換済みクロス集計 u' は各グループの最後の要素の一つ後方のグループのレコード数が設定されたベクトルとなる。以下、 $[u'] \in [F]^m$ の各要素は、 $[u'_i] \in [F]$ ($i=0, \dots, m-1$)で参照することもある。

[0058] 第三に、逆置換済みクロス集計 u' のシェア $[u']$ を用いて、 $[s'] := \text{postfix-sum}([u'])$ を計算し、復元するとベクトル $s' := s'_0, \dots, s'_{m-1} \in F$ となるシェア $[s'] \in [F]^m$ を生成する。 postfix-sum は、 m を入力ベクトル u' の長さとして、 0 以上 $m-1$ 以下の各整数 i について、出力ベクトル s' の i 番目の要素 s'_i には入力ベクトル u' の i 番目の要素 u'_i から $m-1$ 番目の要素 u'_{m-1} までの値の総和を設定する演算である。

[0059] 最後に、ベクトル s' のシェア $[s']$ を用いて、 0 以上 $m-1$ 以下の各整数 i について $[d_i] := [m-i-s'_i-1]$ を設定して、復元するとグループ内での降順順位 $d := d_0, \dots, d_{m-1} \in F$ となるシェア $[d] \in [F]^m$ を生成する。なお、グループ内での降順順位は 0 スタートとなることに注意されたい。 1 スタートの順位を得たいのであれば、各順位に 1 を加算すればよい。すなわち、 0 以上 $m-1$ 以下の各整数 i について $[d_i] := [m-i-s'_i]$ を設定して、降順順位 d を生成すればよい。

[0060] ≪group-by中央値≫

group-by中央値は、テーブルをキー属性の値に基づいてグループ分けしたときに、グループごとに所望のバリュー属性の中央値を得る演算である。group-by中央値は、秘密集約関数計算システム100が出力するバリュー属性 v'_0, \dots, v'_{na-1} のシェア $[v'_0], \dots, [v'_{na-1}]$ とフラグ e のシェア $\{e\}$ と置換 σ のシェア $\{\{\sigma\}\}$ とを用いて、以下のように求めることができる。なお、 c はgroup-byカウントの結果（以下、「クロス集計」と呼ぶ）である。クロス集計 c は、例えば、上述の≪group-byカウント≫の手順に従って、フラグ e のシェア $\{e\}$ と置換 σ のシェア $\{\{\sigma\}\}$ とを用いて求めることができる。また、 v はソート済みバリュー属性 v'_0, \dots, v'_{na-1} のうちgroup-by中央値を求めたい所望のバリュー属性である。

[0061] 第一に、クロス集計 c のシェア $[c]$ と置換 σ のシェア $\{\{\sigma\}\}$ とを用いて、復元するとグループ内での昇順順位を表すベクトル $a := a_0, \dots, a_{m-1} \in F$ となるシェア $[a] \in [F]^m$ および復元するとグループ内での降順順位を表すベクトル $d := d_0, \dots, d_{m-1} \in F$ となるシェア $[d] \in [F]^m$ を生成する。ここで、昇順順位および降順順位は 1 スタートとする。グループ内での昇順順位は、例えば、上述の≪

グループ内の昇順順位》の手順に従って求めることができる。グループ内での降順順位は、例えば、上述の《グループ内の降順順位》の手順に従って求めることができる。

- [0062] 第二に、昇順順位 a のシェア $[a]$ と降順順位 d のシェア $[d]$ とを用いて、 $2^\lambda > m$ を満たす λ に対して、 $[2^\lambda + a - d]$, $[2^\lambda + d - a]$ を計算し、 $[2^\lambda + a - d]$, $[2^\lambda + d - a]$ を λ ビットにビット分解して、復元するとビット列 $a-d$ なるシェア $\{a-d\} \in \{B_\lambda\}^m$ と、復元するとビット列 $d-a$ となるシェア $\{d-a\} \in \{B_\lambda\}^m$ とを生成する。
- [0063] 第三に、 $a-d$ のシェア $\{a-d\}$ と $d-a$ のシェア $\{d-a\}$ とから最下位ビットを除いて、復元すると a' , d' となるシェア $\{a'\}$, $\{d'\} \in \{B_{\lambda-1}\}^m$ を生成する。 a' は $a-d$ の最下位ビットを除いたビット列であり、 d' は $d-a$ の最下位ビットを除いたビット列である。
- [0064] 第四に、 a' のシェア $\{a'\}$ と d' のシェア $\{d'\}$ とを用いて、 $\{a''\} := \{|a' = 0|\}$, $\{d''\} := \{|d' = 0|\}$ を計算し、復元するとフラグ a'' , $d'' \in B^m$ となるシェア $\{a''\}$, $\{d''\} \in \{B\}^m$ を生成する。なお、 $|\cdot|$ は等式 \cdot の真偽を返却する記号である。フラグ a'' , d'' は、 $a-d$, $d-a$ それぞれが0以上1以下であるかどうかを表す。さらに、 a'' はそのレコードが大きい方の中央値であるかどうか、 d'' はそのレコードが小さい方の中央値であるかどうかを表す。
- [0065] 第五に、フラグ a'' , d'' のシェア $\{a''\}$, $\{d''\} \in \{B\}^m$ を任意の環 F 上の秘密分散によるシェア $[a'']$, $[d''] \in [F]^m$ に変換する。
- [0066] 第六に、バリュー属性 v のシェア $[v]$ とフラグ a'' , d'' のシェア $\{a''\}$, $\{d''\}$ とを用いて、 $[v_a] := [va'']$, $[v_d] := [vd'']$ を計算し、復元するとベクトル v_a , $v_d \in F^m$ となるシェア $[v_a]$, $[v_d] \in [F]^m$ を生成する。
- [0067] 第七に、フラグ a'' , d'' のシェア $\{a''\}$, $\{d''\}$ を用いて、復元するとフラグ a'' , d'' の否定 $\neg a''$, $\neg d''$ となるシェア $\{\neg a''\}$, $\{\neg d''\} \in \{B\}^m$ を生成する。次に、フラグ a'' , d'' の否定 $\neg a''$, $\neg d''$ のシェア $\{\neg a''\}$, $\{\neg d''\}$ を用いて、復元するとフラグ a'' , d'' の否定 $\neg a''$, $\neg d''$ をソートする置換 σ_a , σ_d となるシェア $\{\{\sigma_a\}\}$, $\{\{\sigma_d\}\} \in \{\{S_m\}\}$ を生成する。
- [0068] 最後に、ベクトル v_a , v_d のシェア $[v_a]$, $[v_d]$ と置換 σ_a , σ_d のシェア $\{\{\sigma_a\}\}$,

$\{\{\sigma_d\}\}$ とを用いて、 $[x]:=[\sigma_a(v_a)+\sigma_d(v_d)]$ を計算し、復元すると各グループの中央値を表すベクトル x となるシェア $[x]\in[F]^m$ を生成する。

[0069] <変形例>

上記の実施形態では、各秘密計算装置 1_n が、ソート済みキー属性 k'_0, \dots, k'_{nk-1} のシェア $[k'_0], \dots, [k'_{nk-1}]$ 、ソート済みバリュー属性 v'_0, \dots, v'_{na-1} のシェア $[v'_0], \dots, [v'_{na-1}]$ 、フラグ e のシェア $\{e\}$ 、および置換 σ のシェア $\{\{\sigma\}\}$ の少なくとも1つを出力するように構成する例を説明したが、後に続いて計算するgroup-by演算の種類によって、備えるべき処理部を選択して構成してもよい。例えば、group-byカウントやgroup-by中央値は、フラグ e のシェア $\{e\}$ および置換 σ のシェア $\{\{\sigma\}\}$ を必要とするgroup-by演算である。group-by総和やgroup-by最大値／最小値は、ソート済みバリュー属性 v'_0, \dots, v'_{na-1} のシェア $[v'_0], \dots, [v'_{na-1}]$ 、フラグ e のシェア $\{e\}$ 、および置換 σ のシェア $\{\{\sigma\}\}$ を必要とするgroup-by演算である。グループ内の順位は、フラグ e のシェア $\{e\}$ および置換 σ のシェア $\{\{\sigma\}\}$ を必要とするgroup-by演算である。すなわち、group-byカウント、group-by中央値、またはグループ内の順位を計算するが、group-by総和やgroup-by最大値／最小値を計算することがない状況であれば、秘密集約関数計算システム100は、少なくともフラグ e のシェア $\{e\}$ および置換 σ のシェア $\{\{\sigma\}\}$ が出力できればよい。このとき、各秘密計算装置 1_n は、例えば、入力部10、ビット分解部11、グループソート生成部12、ビット列ソート部13、フラグ生成部14、キー集約ソート生成部15、および出力部19を備え、重複排除部16、キーソート部17、およびバリューソート部18は備えないように構成することができる。

[0070] 以上、この発明の実施の形態について説明したが、具体的な構成は、これらの実施の形態に限られるものではなく、この発明の趣旨を逸脱しない範囲で適宜設計の変更等があっても、この発明に含まれることはいうまでもない。実施の形態において説明した各種の処理は、記載の順に従って時系列に実行されるのみならず、処理を実行する装置の処理能力あるいは必要に応じて並列的あるいは個別に実行されてもよい。

[0071] [プログラム、記録媒体]

上記実施形態で説明した各装置における各種の処理機能をコンピュータによって実現する場合、各装置が有すべき機能の処理内容はプログラムによって記述される。そして、このプログラムをコンピュータで実行することにより、上記各装置における各種の処理機能がコンピュータ上で実現される。

[0072] この処理内容を記述したプログラムは、コンピュータで読み取り可能な記録媒体に記録しておくことができる。コンピュータで読み取り可能な記録媒体としては、例えば、磁気記録装置、光ディスク、光磁気記録媒体、半導体メモリ等のようなものでもよい。

[0073] また、このプログラムの流通は、例えば、そのプログラムを記録したDVD、CD-ROM等の可搬型記録媒体を販売、譲渡、貸与等することによって行う。さらに、このプログラムをサーバコンピュータの記憶装置に格納しておき、ネットワークを介して、サーバコンピュータから他のコンピュータにそのプログラムを転送することにより、このプログラムを流通させる構成としてもよい。

[0074] このようなプログラムを実行するコンピュータは、例えば、まず、可搬型記録媒体に記録されたプログラムもしくはサーバコンピュータから転送されたプログラムを、一旦、自己の記憶装置に格納する。そして、処理の実行時、このコンピュータは、自己の記憶装置に格納されたプログラムを読み取り、読み取ったプログラムに従った処理を実行する。また、このプログラムの別の実行形態として、コンピュータが可搬型記録媒体から直接プログラムを読み取り、そのプログラムに従った処理を実行することとしてもよく、さらに、このコンピュータにサーバコンピュータからプログラムが転送されるたびに、逐次、受け取ったプログラムに従った処理を実行することとしてもよい。また、サーバコンピュータから、このコンピュータへのプログラムの転送は行わず、その実行指示と結果取得のみによって処理機能を実現する、いわゆるASP (Application Service Provider) 型のサービスによって、上述の処理を実行する構成としてもよい。なお、本形態におけるプログラムには、

電子計算機による処理の用に供する情報であってプログラムに準ずるもの（コンピュータに対する直接の指令ではないがコンピュータの処理を規定する性質を有するデータ等）を含むものとする。

[0075] また、この形態では、コンピュータ上で所定のプログラムを実行させることにより、本装置を構成することとしたが、これらの処理内容の少なくとも一部をハードウェア的に実現することとしてもよい。

請求の範囲

[請求項1]

複数の秘密計算装置を含む秘密集約関数計算システムであって、
 F は任意の環であり、 m は2以上の整数であり、 n_k は1以上の整数であり、 $[k_0], \dots, [k_{n_k-1}]$ はキー属性 $k_0, \dots, k_{n_k-1} \in F^m$ を秘密分散したシェアであり、

上記秘密計算装置は、

上記シェア $[k_0], \dots, [k_{n_k-1}]$ を用いて、復元すると上記キー属性 k_0, \dots, k_{n_k-1} をビット分解して結合したビット列 $b := b_0, \dots, b_{m-1}$ となるシェア $\{b\}$ から、復元すると上記ビット列 b を昇順に安定ソートする置換 σ_0 となるシェア $\{\{\sigma_0\}\}$ を生成するグループソート生成部と、

上記シェア $\{b\}$ と上記シェア $\{\{\sigma_0\}\}$ とを用いて、復元すると上記ビット列 b を上記置換 σ_0 でソートしたソート済みビット列 $b' := b'_0, \dots, b'_{m-1}$ となるシェア $\{b'\}$ を生成するビット列ソート部と、

上記シェア $\{b'\}$ を用いて、0以上 $m-2$ 以下の各整数 i について $\{e_i\} := \{b'_i \neq b'_{i+1}\}$ を設定し、かつ、 $\{e_{m-1}\} := \{1\}$ を設定して、復元するとフラグ $e := e_0, \dots, e_{m-1}$ となるシェア $\{e\}$ を生成するフラグ生成部と、

上記シェア $\{e\}$ を用いて、復元すると上記フラグ e の否定 $\neg e$ を昇順に安定ソートする置換 σ となるシェア $\{\{\sigma\}\}$ を生成するキー集約ソート生成部と、

を含む秘密集約関数計算システム。

[請求項2]

請求項1に記載の秘密集約関数計算システムであって、

n_a は1以上の整数であり、 $[v_0], \dots, [v_{n_a-1}]$ はバリュー属性 $v_0, \dots, v_{n_a-1} \in F^m$ を秘密分散したシェアであり、

上記秘密計算装置は、

上記シェア $\{e\}$ を用いて、0以上 $m-1$ 以下の各整数 i および0以上 n_k-1 以下の各整数 j について、 $\{e_i\} = \{1\}$ ならば $[k''_{j,i}]$ に $[k_{j,i}]$ を設定し、 $\{e_i\} \neq \{1\}$ ならば $[k''_{j,i}]$ に所定の固定値を設定して、復元すると重複排除済みキー属性 $k''_0, \dots, k''_{n_k-1}$ となるシェア $[k''_0], \dots, [k''_{n_k-1}]$ を生成す

る重複排除部と、

上記シェア $[k''_0], \dots, [k''_{nk-1}]$ と上記シェア $\{\{\sigma_0\}\}$ と上記シェア $\{\{\sigma\}\}$ とを用いて、

復元すると上記重複排除済みキー属性 k''_0, \dots, k''_{nk-1} を上記置換 σ_0 と上記置換 σ とで順にソートしたソート済みキー属性 k'_0, \dots, k'_{nk-1} となるシェア $[k'_0], \dots, [k'_{nk-1}]$ を生成するキーソート部と、

上記シェア $[v_0], \dots, [v_{na-1}]$ と上記シェア $\{\{\sigma_0\}\}$ とを用いて、復元すると上記バリュー属性 v_0, \dots, v_{na-1} を上記置換 σ_0 でソートしたソート済みバリュー属性 v'_0, \dots, v'_{na-1} となるシェア $[v'_0], \dots, [v'_{na-1}]$ を生成するバリューソート部と、

を含む秘密集約関数計算システム。

[請求項3]

Fは任意の環であり、mは2以上の整数であり、 n_k は1以上の整数であり、 $[k_0], \dots, [k_{nk-1}]$ はキー属性 $k_0, \dots, k_{nk-1} \in F^m$ を秘密分散したシェアであり、

上記シェア $[k_0], \dots, [k_{nk-1}]$ を用いて、復元すると上記キー属性 k_0, \dots, k_{nk-1} をビット分解して結合したビット列 $b := b_0, \dots, b_{m-1}$ となるシェア $\{b\}$ から、復元すると上記ビット列 b を昇順に安定ソートする置換 σ_0 となるシェア $\{\{\sigma_0\}\}$ を生成するグループソート生成部と、

上記シェア $\{b\}$ と上記シェア $\{\{\sigma_0\}\}$ とを用いて、復元すると上記ビット列 b を上記置換 σ_0 でソートしたソート済みビット列 $b' := b'_0, \dots, b'_{m-1}$ となるシェア $\{b'\}$ を生成するビット列ソート部と、

上記シェア $\{b'\}$ を用いて、0以上 $m-2$ 以下の各整数 i について $\{e_i\} := \{b'_i \neq b'_{i+1}\}$ を設定し、かつ、 $\{e_{m-1}\} := \{1\}$ を設定して、復元するとフラグ $e := e_0, \dots, e_{m-1}$ となるシェア $\{e\}$ を生成するフラグ生成部と、

上記シェア $\{e\}$ を用いて、復元すると上記フラグ e の否定 $\neg e$ を昇順に安定ソートする置換 σ となるシェア $\{\{\sigma\}\}$ を生成するキー集約ソート生成部と、

を含む秘密計算装置。

[請求項4] 複数の秘密計算装置を含む秘密集約関数計算システムが実行する秘密集約関数計算方法であって、

Fは任意の環であり、mは2以上の整数であり、 n_k は1以上の整数であり、 $[k_0], \dots, [k_{n_k-1}]$ はキー属性 $k_0, \dots, k_{n_k-1} \in F^m$ を秘密分散したシェアであり、

上記秘密計算装置のグループソート生成部が、上記シェア $[k_0], \dots, [k_{n_k-1}]$ を用いて、復元すると上記キー属性 k_0, \dots, k_{n_k-1} をビット分解して結合したビット列 $b := b_0, \dots, b_{m-1}$ となるシェア{b}から、復元すると上記ビット列bを昇順に安定ソートする置換 σ_0 となるシェア $\{\sigma_0\}$ を生成し、

上記秘密計算装置のビット列ソート部が、上記シェア{b}と上記シェア $\{\sigma_0\}$ とを用いて、復元すると上記ビット列bを上記置換 σ_0 でソートしたソート済みビット列 $b' := b'_0, \dots, b'_{m-1}$ となるシェア{b'}を生成し、

上記秘密計算装置のフラグ生成部が、上記シェア{b'}を用いて、0以上m-2以下の各整数iについて $\{e_i\} := \{b'_i \neq b'_{i+1}\}$ を設定し、かつ、 $\{e_{m-1}\} := \{1\}$ を設定して、復元するとフラグ $e := e_0, \dots, e_{m-1}$ となるシェア{e}を生成し、

上記秘密計算装置のキー集約ソート生成部が、上記シェア{e}を用いて、復元すると上記フラグeの否定 $\neg e$ を昇順に安定ソートする置換 σ となるシェア $\{\sigma\}$ を生成する、

秘密集約関数計算方法。

[請求項5] 請求項3に記載の秘密計算装置としてコンピュータを機能させるためのプログラム。

[図1]

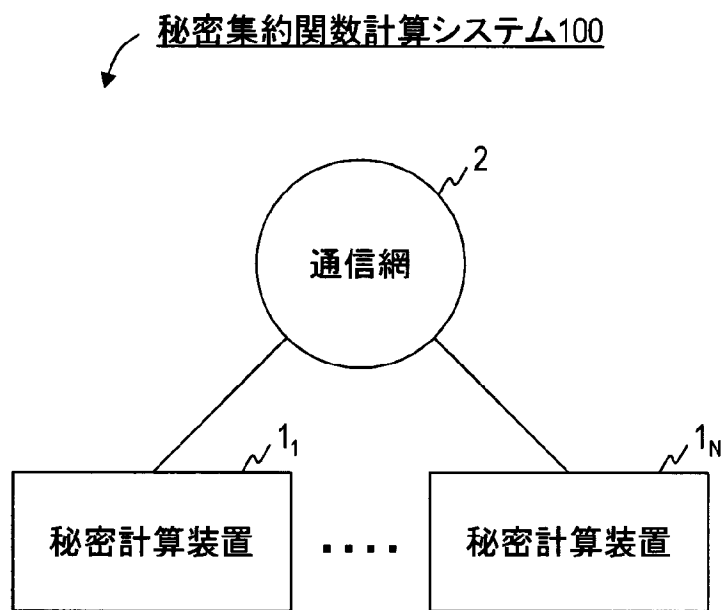


図1

[図2]

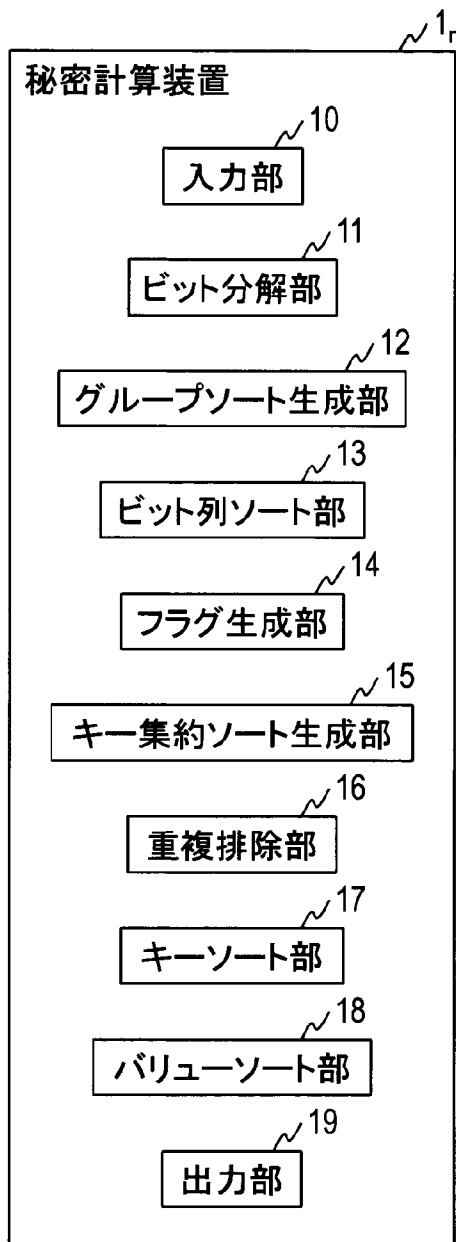


図2

[図3]

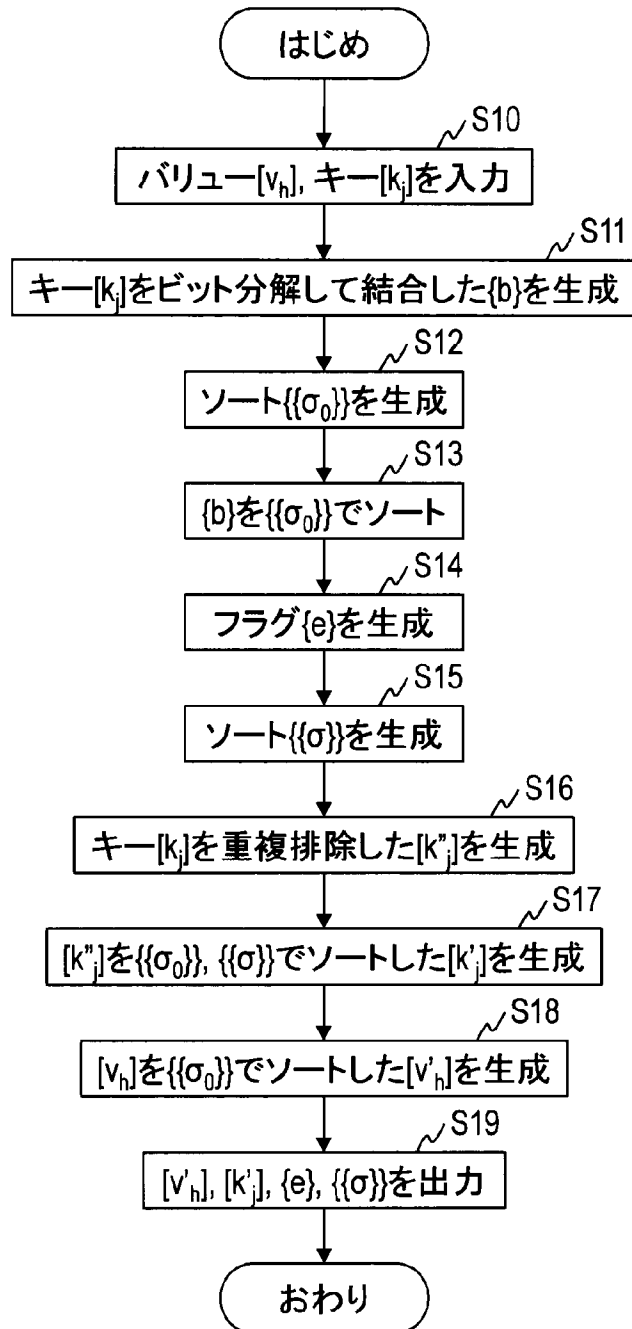


図3

INTERNATIONAL SEARCH REPORT

International application No.
PCT/JP2019/019093

A. CLASSIFICATION OF SUBJECT MATTER
Int.Cl. G09C1/00 (2006.01) i

According to International Patent Classification (IPC) or to both national classification and IPC

B. FIELDS SEARCHED
Minimum documentation searched (classification system followed by classification symbols)
Int.Cl. G09C1/00

Documentation searched other than minimum documentation to the extent that such documents are included in the fields searched

Published examined utility model applications of Japan	1922-1996
Published unexamined utility model applications of Japan	1971-2019
Registered utility model specifications of Japan	1996-2019
Published registered utility model applications of Japan	1994-2019

Electronic data base consulted during the international search (name of data base and, where practicable, search terms used)

C. DOCUMENTS CONSIDERED TO BE RELEVANT

Category*	Citation of document, with indication, where appropriate, of the relevant passages	Relevant to claim No.
A	JP 2012-154968 A (NIPPON TELEGRAPH AND TELEPHONE CORP.) 16 August 2012, paragraphs [0013]-[0020] (Family: none)	1-5
A	WO 2015/107951 A1 (NIPPON TELEGRAPH AND TELEPHONE CORP.) 23 July 2015, paragraphs [0002]-[0009], [0017]-[0035] & US 2016/0321958 A1, paragraphs [0002]-[0009], [0025]-[0059] & EP 3096309 A1 & CN 105900164 A	1-5

Further documents are listed in the continuation of Box C. See patent family annex.

* Special categories of cited documents:	"T" later document published after the international filing date or priority date and not in conflict with the application but cited to understand the principle or theory underlying the invention
"A" document defining the general state of the art which is not considered to be of particular relevance	"X" document of particular relevance; the claimed invention cannot be considered novel or cannot be considered to involve an inventive step when the document is taken alone
"E" earlier application or patent but published on or after the international filing date	"Y" document of particular relevance; the claimed invention cannot be considered to involve an inventive step when the document is combined with one or more other such documents, such combination being obvious to a person skilled in the art
"L" document which may throw doubts on priority claim(s) or which is cited to establish the publication date of another citation or other special reason (as specified)	"&" document member of the same patent family
"O" document referring to an oral disclosure, use, exhibition or other means	
"P" document published prior to the international filing date but later than the priority date claimed	

Date of the actual completion of the international search 30 July 2019 (30.07.2019)	Date of mailing of the international search report 13 August 2019 (13.08.2019)
--	---

Name and mailing address of the ISA/ Japan Patent Office 3-4-3, Kasumigaseki, Chiyoda-ku, Tokyo 100-8915, Japan	Authorized officer Telephone No.
--	---

INTERNATIONAL SEARCH REPORT

International application No.

PCT/JP2019/019093

C (Continuation). DOCUMENTS CONSIDERED TO BE RELEVANT

Category*	Citation of document, with indication, where appropriate, of the relevant passages	Relevant to claim No.
A	桐淵直人, 他, プログラマブルな秘密計算ライブラリ MEVAL3, 2018年暗号と情報セキュリティシンポジウム(SCIS2018), 2A1-3, 23 January 2018, pp. 1-8, in particular, table 1 (p. 5), non-official translation (KIRIBUCHI, Naoto et al., "Programmable secure computation library MEVAL3", The 2018 Symposium on Cryptography and Information Security(SCIS2018))	1-5
A	JP 5-81337 A (TOSHIBA CORP.) 02 April 1993, paragraphs [0051]-[0057] (Family: none)	1-5

A. 発明の属する分野の分類（国際特許分類（IPC））

Int.Cl. G09C1/00(2006.01)i

B. 調査を行った分野

調査を行った最小限資料（国際特許分類（IPC））

Int.Cl. G09C1/00

最小限資料以外の資料で調査を行った分野に含まれるもの

日本国実用新案公報	1922-1996年
日本国公開実用新案公報	1971-2019年
日本国実用新案登録公報	1996-2019年
日本国登録実用新案公報	1994-2019年

国際調査で使用した電子データベース（データベースの名称、調査に使用した用語）

C. 関連すると認められる文献

引用文献の カテゴリー*	引用文献名 及び一部の箇所が関連するときは、その関連する箇所の表示	関連する 請求項の番号
A	JP 2012-154968 A（日本電信電話株式会社）2012.08.16, 段落 0013-0020（ファミリーなし）	1-5
A	WO 2015/107951 A1（日本電信電話株式会社）2015.07.23, 段落 0002-0009, 0017-0035 & US 2016/0321958 A1, paras. 0002-0009, 0025-0059 & EP 3096309 A1 & CN 105900164 A	1-5

C欄の続きにも文献が列挙されている。

パテントファミリーに関する別紙を参照。

* 引用文献のカテゴリー

- 「A」特に関連のある文献ではなく、一般的技術水準を示すもの
- 「E」国際出願日前の出願または特許であるが、国際出願日以後に公表されたもの
- 「L」優先権主張に疑義を提起する文献又は他の文献の発行日若しくは他の特別な理由を確立するために引用する文献（理由を付す）
- 「O」口頭による開示、使用、展示等に言及する文献
- 「P」国際出願日前で、かつ優先権の主張の基礎となる出願

の日の後に公表された文献

- 「T」国際出願日又は優先日後に公表された文献であって出願と矛盾するものではなく、発明の原理又は理論の理解のために引用するもの
- 「X」特に関連のある文献であって、当該文献のみで発明の新規性又は進歩性がないと考えられるもの
- 「Y」特に関連のある文献であって、当該文献と他の1以上の文献との、当業者にとって自明である組合せによって進歩性がないと考えられるもの
- 「&」同一パテントファミリー文献

国際調査を完了した日

30.07.2019

国際調査報告の発送日

13.08.2019

国際調査機関の名称及びあて先

日本国特許庁（ISA/J P）
郵便番号100-8915
東京都千代田区霞が関三丁目4番3号

特許庁審査官（権限のある職員）

金沢 史明

電話番号 03-3581-1101 内線 3546

5S

4538

C (続き) . 関連すると認められる文献		
引用文献の カテゴリー*	引用文献名 及び一部の箇所が関連するときは、その関連する箇所の表示	関連する 請求項の番号
A	桐淵 直人, 他, プログラマブルな秘密計算ライブラリ MEVAL3, 2018 年暗号と情報セキュリティシンポジウム (SCIS2018), 2A1-3, 2018.01.23, pp.1-8, 特に表 1(p.5)	1-5
A	JP 5-81337 A (株式会社東芝) 1993.04.02, 段落 0051-0057 (ファミリーなし)	1-5